

чистом изгибе и на  $m = 10$  и  $k = 20$  элементов при чистом кручении. Сходимость решения по числу конечных элементов приведена в таблице. При комбинированном нагружении моментами  $M_u$  и  $M_k$  устойчивость оболочки исследовалась при  $m = 12$  и  $k = 34$ .

На рис. 4 для комбинированного нагружения приведена кривая зависимости (сплошная линия) параметров  $R_t = M_{k*}/M_k^0$  и  $R_b = M_{u*}/M_u^0$  ( $M_{k*}$  и  $M_{u*}$  — критические значения моментов при комбинированном нагружении). Для сравнения штриховой линией нанесена аналогичная зависимость, рекомендуемая [1] для оболочек средней длины.

Комбинированное действие нагрузок приводит к сложной конфигурации как исходного, так и бифуркационного прогиба  $w$ . На рис. 5 для  $R_t = 0,84$  показана форма прогиба в исходном состоянии, которая близка к конфигурации прогиба  $w$  при чистом изгибе. При бифуркации прогибы локализуются в области осевого сжатия (рис. 6) и имеют вид косых волн с максимальной амплитудой в области наибольшего сжатия.

#### ЛИТЕРАТУРА

- Григорюк Э. И., Кабанов В. В. Устойчивость оболочек.— М.: Наука, 1978.
- Бадрухин Ю. И., Кабанов В. В. Уравнения криволинейных стержней // Расчет элементов конструкций летательных аппаратов.— М.: Машиностроение, 1982.
- Кабанов В. В., Астрахарчик С. В. Нелинейное деформирование и устойчивость подкрепленных цилиндрических оболочек при изгибе // Пространственные конструкции в Красноярском крае.— Красноярск: КНИ, 1985.
- Kodama S., Otomo K., Yamaki N. Postbuckling behaviour of pressurized circular cylindrical shells under torsion I. Experiment // Intern. J. Non-Linear Mech.— 1981.— V. 16, N 3/4.

Поступила 10/XI 1987 г.

УДК 539.3 : 624.073.2

## ИЗГИБ КРУГЛОЙ ПЛАСТИНЫ НА УПРУГОМ НЕОДНОРОДНОМ ОСНОВАНИИ ПРИ НЕПОЛНОМ КОНТАКТЕ С ОСНОВАНИЕМ

R. I. Дудинский  
(Киев)

Задачи расчета конструкций на упругом основании имеют большое практическое значение. Выбирая в качестве расчетной модели основания упругое изотропное полупространство, многие авторы строили решения задач об изгибе пластинок для широкого класса нагрузок и форм пластинок [1—6]. Однако опыт использования этих решений в инженерной практике выявил ряд недостатков модели упругого однородного полупространства, в частности завышение расчетных значений прогибов и изгибающих моментов. Одна из причин этого — неоднородность по глубине упругих свойств большинства реальных оснований (например, грунтов). Известная попытка учета этой неоднородности и корректировки результатов, получаемых по модели упругого однородного полупространства, — рассмотрение рядом авторов модели упругого полупространства с модулем упругости, являющимся степенной или экспоненциальной функцией глубины (коэффициент Пуассона при этом считается постоянным). Историрующий список публикаций по этому вопросу приведен в библиографических указателях [7—9], а обзор отдельных работ можно найти в [4, 5, 10, 11].

В настоящей работе рассматривается осесимметричная задача об изгибе круглой пластины на упругом основании при неполном контакте (при условии односторонней связи). Модель основания — упругое изотропное непрерывно-неоднородное полупространство с переменным по глубине коэффициентом Пуассона и постоянным модулем сдвига. Решение задачи методом парных интегральных уравнений сведено к линейному интегральному уравнению Фредгольма второго рода.

1. Рассмотрим в качестве упругого основания упругое изотропное непрерывно-неоднородное полупространство, точки которого в цилиндрической системе координат  $r, \theta, z$  принадлежат области  $z \geq 0$ . Модуль сдвига  $\mu$  материала основания считается постоянным, а коэффициент Пуассона  $\nu = \nu(z)$  — произвольной (достаточно гладкой) функцией глубины. Предлагаемая модель может рассматриваться как модель упругого осно-

вания с переменным модулем упругости, в этом случае изменяющимся с глубиной по известной зависимости  $E(z) = 2\mu[1 + v(z)]$ .

Пусть на поверхности  $z = 0$  полупространства покоятся без трения круглая пластина радиуса  $R$ , ось симметрии которой совпадает с осью  $z$ . Сверху на пластину действует осесимметрично распределенная нормальная нагрузка интенсивности  $q(r)$ , а по контуру — окружные пары сил с изгибающим моментом  $M$ . Под пластиной в области контакта возникает реактивное (контактное) давление  $p(r)$ . Вне площадки контакта поверхность полупространства свободна от нагрузок. При достаточно малых значениях  $M$  пластина будет полностью соприкасаться с основанием. При увеличении  $M$  может произойти отрыв пластины от основания, т. е. радиус площадки контакта  $a$  станет меньше радиуса пластины. Предельное значение момента, при котором происходит отрыв пластины, обозначим через  $M_*$  (при этом  $a = R$ ).

В рамках классической теории пластин, основанной на гипотезе Кирхгофа, перемещения точек срединной плоскости пластины (прогибы)  $w(r)$  удовлетворяют обыкновенному дифференциальному уравнению С. Жермен [12]

$$(1.1) \quad \nabla^2 w(r) = [q(r) - p(r)]/D,$$

где  $\nabla^2 = r^{-1}d[rd/dr]/dr$  — оператор Лапласа;  $D$  — цилиндрическая жесткость пластины. Решение уравнения (1.1) при заданных условиях нагружения пластины можно представить в виде

$$(1.2) \quad w(r) = w_0 - \frac{Mr^2}{2D(1+v_*)} + \frac{1}{4D} \int_0^r [q(t) - p(t)] [(r^2 + t^2) \ln(r/t) - (r^2 - t^2)] t dt - \\ - \frac{r^2}{4D} \int_0^R [q(t) - p(t)] [\ln(R/t) + (c/2)(1 - t^2/R^2)] t dt.$$

Здесь  $w_0 = w(0)$ ;  $c = (1 - v_*)/(1 + v_*)$ ;  $v_*$  — коэффициент Пуассона материала пластины.

Для определения  $w_0$  служит условие равновесия пластины

$$(1.3) \quad \int_0^R q(t)t dt = \int_0^a p(t)t dt.$$

Вертикальные перемещения точек границы полупространства  $u_z(r)$  и нормальные напряжения в этих точках  $\sigma_z(r)$  при отсутствии касательных напряжений на границе связаны зависимостью [13, 14]

$$(1.4) \quad u_z(r) = (2\mu)^{-1}(1 - v_0)rS_{-1/2,1}\{(1 + k)\psi\}(r), \\ \sigma_z(r) = -S_{0,0}\{\psi\}(r),$$

где  $\psi(t) = S_{0,0}\{p\}(t)$ ;  $p(r) = -\sigma_z(r)$  ( $r \leq a$ );  $S_{\alpha,\beta}\{f\}(t) = 2^\beta t^{-\beta} \int_0^\infty x^{1-\beta} f(x) \times$   
 $\times J_{2\alpha+\beta}(tx) dx$ ;  $k(t) = [2(1 - v_0)t\Lambda(t)]^{-1} - 1$ ;  $v_0 = v(0)$ ;  $\Lambda(t) = \int_0^\infty [1 - v(x)]^{-1} \exp(-2tx) dx$ ;  $J$  — функция Бесселя первого рода.

Равенство прогибов пластины и вертикальных перемещений границы полупространства в точках площадки контакта и отсутствие нагрузки на поверхности полупространства вне площадки контакта приводят к следующим граничным условиям:

$$(1.5) \quad u_z(r) = w(r), \quad r \leq a, \quad \sigma_z(r) = 0, \quad r > a.$$

Для определения радиуса площадки контакта служит условие обращения в нуль контактного давления на границе площадки контакта. Основной интерес при расчете пластин на упругом основании представляется

ляет определение контактного давления и прогиба пластины. Эти величины позволяют сделать полный расчет пластины, т. е. найти поперечную силу и изгибающие моменты, а следовательно, нормальные и касательные напряжения в пластине.

**2.** Используя интегральные представления (1.4), после удовлетворения граничным условиям (1.5) приходим к парным интегральным уравнениям относительно  $\psi$ :

$$(2.1) \quad S_{-1/2,1}\{(\mathbf{1} + k)\psi\}(r) = 2\mu(1 - v_0)^{-1}r^{-1}w(r), \quad r \leq a, \\ S_{0,0}\{\psi\}(r) = 0, \quad r > a.$$

Парные интегральные уравнения (2.1) обычным образом приводятся к интегральному уравнению Фредгольма второго рода [14]

$$(2.2) \quad \varphi(x) + \int_0^1 N(x, u)\varphi(u)du = H(x), \quad 0 \leq x \leq 1, \\ N(x, u) = 2\pi^{-1} \int_0^\infty k(t/a) \cos(xt) \cos(ut) dt, \quad H(x) = \frac{d}{dx} \int_0^x \frac{rw(ar)dr}{(x^2 - r^2)^{1/2}},$$

где функция  $\varphi$  связана с функцией  $\psi$  соотношением

$$(2.3) \quad \psi(x) = 2\mu a l^{-1} (1 - v_0)^{-1} \int_0^1 \varphi(t) \cos(axt) dt.$$

Правая часть интегрального уравнения (2.2), согласно (1.2), зависит от  $p(r)$ . Используя (1.4), (2.3), выразим  $p(r)$  в правой части (2.2) через  $\varphi$ , после чего интегральное уравнение принимает вид

$$(2.4) \quad \varphi(x) + \int_0^1 [N(x, u) + \lambda d^3 K(x, u)]\varphi(u)du = F(x).$$

Здесь  $\lambda = 2\mu R^3 [\pi D(1 - v_0)]^{-1}$ ;  $d = a/R$ ;

$$K(x, u) = \{(x + u)^2 \ln[2(x + u)] + (x - u)^2 \ln[2(x - u)] - 2u^2 \ln(2u) - cx^4(1 - 2u^2) - x^2[3 + 2c(1 - d^2)u^2 - \ln d]\}/4;$$

$$F(x) = w_0 - Ma^2 D^{-1} (1 + v_*)^{-1} x^2 + \frac{a^4}{4D} \int_0^x q(at) \left\{ (t^2 + 2x^2) \ln \left[ \frac{x + (x^2 - t^2)^{1/2}}{t} \right] - 3x(x^2 - t^2)^{1/2} \right\} t dt - \frac{a^2 R^2 x^2}{2D} \int_0^1 q(Rt) [(c/2)(1 - t^2) - \ln t] t dt.$$

Учитывая формулы (1.4), (2.3), получаем выражения для контактного давления и прогибов пластины:

$$(2.5) \quad p(r) = \frac{2\mu}{\pi a(1 - v_0)} \left[ \frac{\varphi(1)}{(1 - \rho^2)^{1/2}} - \int_0^1 \frac{\varphi'(t)dt}{(t^2 - \rho^2)^{1/2}} \right], \quad \varphi(t) = \frac{2}{\pi} \left[ \int_0^\rho \frac{\varphi(t)dt}{(t^2 - \rho^2)^{1/2}} + \int_0^1 \varphi(t)dt \int_0^\infty k(x/a) J_0(\rho x) \cos(tx) dx \right], \quad \rho = r/a, \quad r \leq a.$$

При  $v = \text{const}$  функция  $k$  обращается в нуль и формулы (2.4), (2.5) дают решение задачи изгиба круглой пластины на упругом изотропном однородном полупространстве, совпадающее с найденным в [15]. Отметим, что формулу для  $w(r)$  ( $r \leq R$ ) можно получить, подставив выражение для  $p(r)$  (2.5) в (1.2).

Условие равновесия пластины (1.3) принимает вид

$$(2.6) \quad \pi R^2 (1 - v_0) \int_0^1 q(Rt) t dt = 2\mu a \int_0^1 \varphi(t) dt.$$

Из (2.5) следует, что условие обращения в нуль  $p(r)$  на границе площадки контакта эквивалентно условию

$$(2.7) \quad \varphi(1) = 0.$$

3. Процедуру нахождения радиуса площадки контакта приведем для нагружения пластины нормальной нагрузкой, равномерно распределенной по ее поверхности, т. е. при  $q = \text{const}$ . В этом случае правую часть интегрального уравнения (2.4) запишем как

$$F(x) = w_0 + \frac{qR^4}{4D} \left[ \frac{d^4 x^4}{6} - \frac{(2 + c)}{4} d^2 x^2 \right] - \frac{Ma^2 x^2}{D(1 + v_*)},$$

а уравнение равновесия (2.6) переходит в

$$(3.1) \quad 4\mu a \int_0^1 \varphi(t) dt = q\pi(1 - v_0) R^2.$$

Решение интегрального уравнения (2.4) представим в виде

$$(3.2) \quad \varphi(x) = w_0 \varphi_1(x) + \frac{qR^4}{4D} \varphi_2(x) - \frac{Ma^2}{D(1 + v_*)} \varphi_3(x),$$

где  $\varphi_i(x)$  ( $i = 1, 2, 3$ ) являются соответственно решениями интегральных уравнений Фредгольма второго рода

$$(3.3) \quad \varphi_i(x) + \int_0^1 [N(x, u) + \lambda d^3 K(x, u)] \varphi_i(u) du = F_i(x),$$

$$F_1(x) = 1, \quad F_2(x) = \frac{d^4 x^4}{6} - \frac{(2 + c)}{4} d^2 x^2, \quad F_3(x) = x^2.$$

Отметим, что определение  $a$  при заданном значении  $R$  равносильно определению  $d$ .

Удовлетворяя условиям (2.7), (3.1) при помощи (3.2), получаем выражение для максимальной величины прогибов пластины в зоне контакта  $w_0$  и уравнение относительно  $d$ :

$$(3.4) \quad w_0 = \frac{qR^4}{4\lambda D(\varepsilon_1 - \varepsilon_3 \varphi_{13})} [(2/d) - \lambda(\varepsilon_2 - \varepsilon_3 \varphi_{23})];$$

$$(3.5) \quad \frac{4M}{qR^2(1 + v_*)} d^3 + \frac{\varepsilon_2 \varphi_{13} - \varepsilon_1 \varphi_{23}}{\varepsilon_1 - \varepsilon_3 \varphi_{13}} d - \frac{2\varphi_{13}}{\lambda(\varepsilon_1 - \varepsilon_3 \varphi_{13})} = 0$$

$$\left( \varepsilon_i = \int_0^1 \varphi_i(t) dt, \quad i = 1, 2, 3, \quad \varphi_{j3} = \varphi_j(1)/\varphi_3(1), \quad j = 1, 2 \right).$$

Таким образом, радиус площадки контакта находится из совместного решения интегральных уравнений Фредгольма второго рода (3.3) и уравнения (3.5). Отметим, что приведенная процедура определения радиуса площадки контакта легко обобщается на случай нагружения пластины нагрузкой интенсивности  $q(r)$ .

Выражение для предельного момента  $M_*$  получается из (3.5) при  $d = 1$

$$(3.6) \quad M_* = qR^2(1 + v_*) \left\{ \frac{\varphi_{13} [2 - \lambda(\varepsilon_2 - \varepsilon_3 \varphi_{23})]}{4\lambda(\varepsilon_1 - \varepsilon_3 \varphi_{13})} + \frac{\varphi_{23}}{4} \right\}.$$

Формулу (3.2) с учетом (3.4), (3.5) можно представить в виде

$$\varphi(x) = qR^4(\lambda D)^{-1} \varphi_4(x),$$

$$\varphi_4(x) = \frac{2 - \lambda d(\varepsilon_2 - \varepsilon_3 \varphi_{23})}{4d(\varepsilon_1 - \varepsilon_3 \varphi_{13})} \varphi_1(x) + \frac{\lambda}{4} \varphi_2(x) - \frac{2\varphi_{13} + \lambda d(\varepsilon_1 \varphi_{23} - \varepsilon_2 \varphi_{13})}{4d(\varepsilon_1 - \varepsilon_3 \varphi_{13})} \varphi_3(x).$$

$$\text{Тогда } p(r) = -\frac{q}{d} \int_0^1 \frac{\varphi_4'(t) dt}{(t^2 - r^2)^{1/2}}.$$

4. Для получения численных результатов будем полагать, что коэффициент Пуассона материала полупространства изменяется с глубиной по закону  $v(z) = 1 - [A + B \exp(-2\gamma z)]^{-1}$ ,  $\gamma \geq 0$ . Учитывая, что коэффициент Пуассона реальных материалов изменяется в пределах от 0 до 0,5, устанавливаем, что областями изменения параметров  $A$  и  $B$  являются соответственно интервалы  $[1, 2]$  и  $[-1, 1]$ .

Функция  $k$  в этом случае имеет вид  $k(t/a) = c_1 c_2 [c_1 + d^{-1}(1 + c_2)t]^{-1}$  ( $c_1 = \gamma R$ ,  $c_2 = B/A$ ). Тогда ядро интегрального уравнения Фредгольма второго рода (а значит, и решение) зависит от безразмерных параметров  $c_1$ ,  $c_2$ ,  $\lambda$ . Области изменения параметров  $c_1$ ,  $c_2$  — интервалы  $[0, \infty)$  и  $[-0,5, 1]$ . Параметр  $c_2$  допускает представление  $c_2 = (v_0 - v_\infty) \times (1 - v_0)^{-1}$  ( $v_\infty$  — коэффициент Пуассона на бесконечно большой глубине). Отсюда следует, что  $v(z)$  возрастает с глубиной при  $c_2 < 0$  и убывает при  $c_2 > 0$ .

Полагая  $c_1 = 0$  или  $c_2 = 0$ , приходим к решению задачи для однородного полупространства с коэффициентом  $v_0$ . При  $c_1 \rightarrow \infty$  решение задачи переходит в решение для однородного полупространства с коэффициентом  $v_0(1 + c_2) - c_2$ .

Для проведения численных расчетов необходимо задать значения безразмерных  $\lambda$  и  $c$ . Задание параметра  $\lambda$  при фиксированных  $\mu$ ,  $D$  и  $R$  однозначно определяет  $v_0$ . Численные расчеты проводились для  $\lambda = 1$  и  $c = 5/7$ .

Значение  $M_*$  вычислялось по формуле (3.6) после нахождения  $\varphi_i$  ( $i = 1, 2, 3$ ) из (3.3) при  $d = 1$ . Решения интегральных уравнений (3.3) получали по методу квадратурных формул [16].

На рис. 1 представлена зависимость безразмерной величины  $\alpha_1 = M_*/M_*^0 - 1$  от параметров  $c_1$ ,  $c_2$ . Здесь  $M_*^0$  — предельный изгибающий момент, при котором происходит отрыв пластины в случае задачи для однородного полупространства (при тех же  $\lambda$  и  $c$ ). Из приведенных данных видно, что  $|\alpha_1|$  увеличивается с ростом  $c_1(|c_2|)$  при фиксированных значениях  $c_2(c_1)$ , отличных от нуля. Учитывая, что  $\alpha_1 > 0$  при  $c_2 > 0$  и  $\alpha_1 < 0$  при  $c_2 < 0$ , заключаем, что  $M_* > M_*^0$  при  $c_2 > 0$  и  $M_* < M_*^0$  при  $c_2 < 0$ , т. е. для упругого основания, коэффициент Пуассона материала которого убывает с глубиной, отрыв пластины имеет место при большем значении изгибающего момента, чем в случае упругого основания с постоянным коэффициентом  $v_0$ , и при меньшем для упругого основания, коэффициент Пуассона материала которого возрастает с глубиной.

Зададимся величиной изгибающего момента  $M = 1,8qR^2$  ( $M \approx 1,99M_*^0$ ). Как видно из рис. 1, при заданном значении изгибающего момента происходит отрыв пластины от основания при любых  $c_1$ ,  $c_2$  из интервалов их изменения.

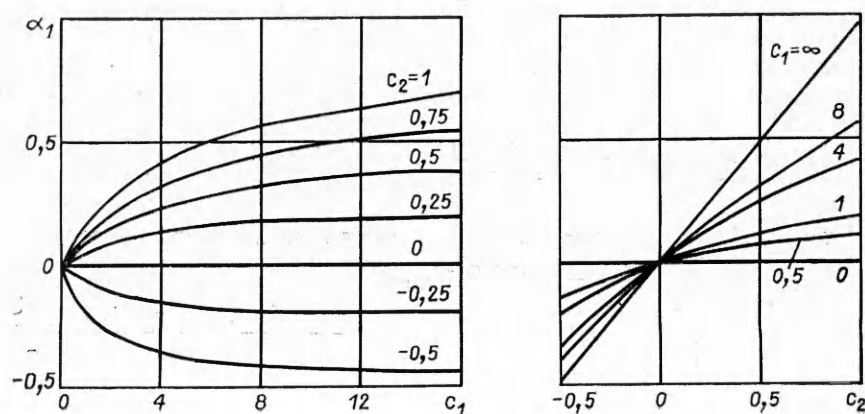
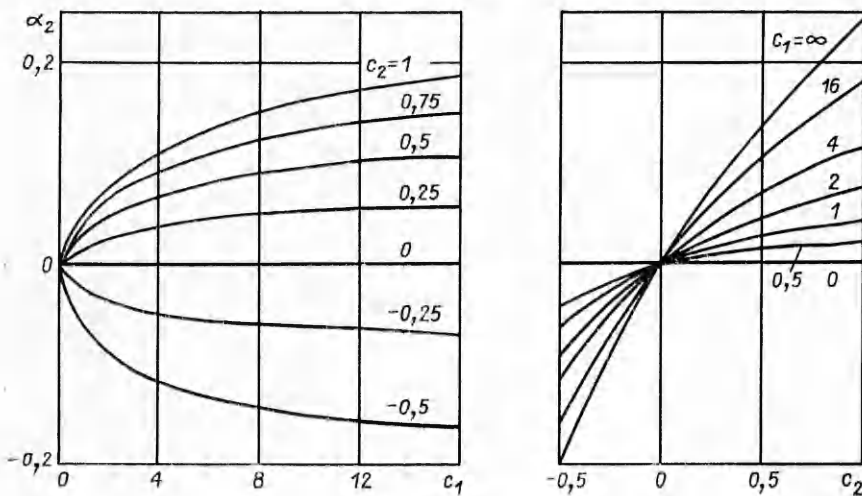
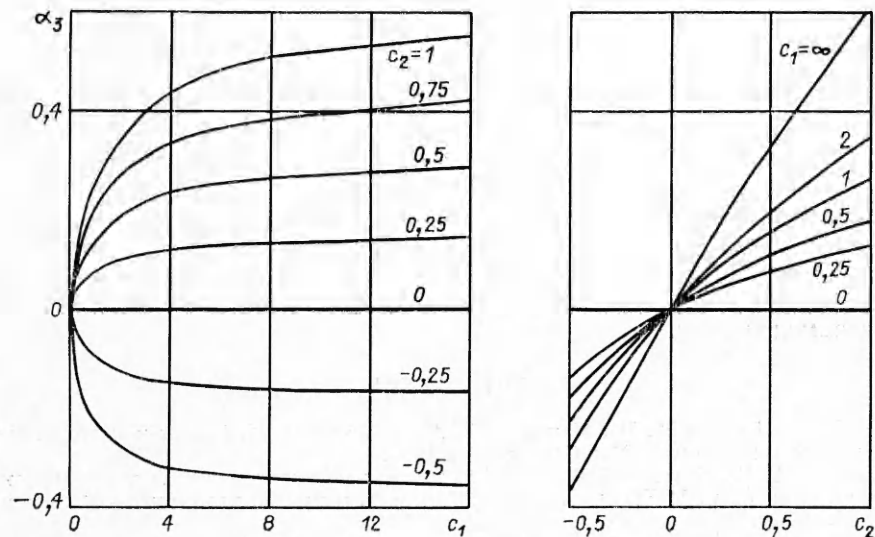


Рис. 1



Р и с. 2



Р и с. 3

Радиус площадки контакта находился (с точностью до  $10^{-4}$ ) из совместного решения уравнений (3.3), (3.5) методом последовательных приближений (за начальное приближение выбирали  $a = R$ ).

На рис. 2—4 представлены соответственно зависимости безразмерных  $\alpha_2 = a/a^0 - 1$ ,  $\alpha_3 = w_0/w_0^0 - 1$  и  $\alpha_4 = p(0)/p^0(0) - 1$  от  $c_1$ ,  $c_2$ . Здесь  $a^0$ ,  $w_0^0$ ,  $p^0(0)$  — радиус площадки контакта, максимальная величина прогибов пластины в зоне контакта и максимальная величина контактного давления в случае задачи для однородного полупространства (при тех же значениях  $\lambda$  и  $c$ ).

Из приведенных численных результатов следует, что учет возрастания (убывания) коэффициента Пуассона материала упругого основания приводит к снижению (увеличению) расчетных значений радиуса площадки контакта и максимальной величины прогибов пластины соответственно в пределах до 19,7 (24,6) и 37,8 % (60,8 %) и увеличению (снижению) расчетных значений максимального реактивного давления в пределах до 153,8 % (59,6 %).

Случай увеличения по глубине коэффициента Пуассона отвечает модели упругого основания, модуль упругости которого возрастает по

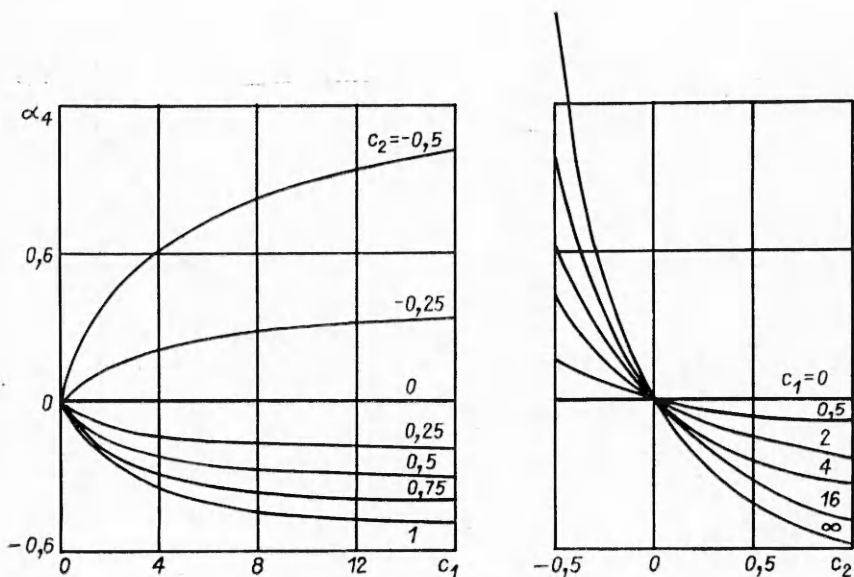


Рис. 4

глубине. Этим же свойством обладает, как правило, модуль упругости грунтов [1].

Итак, в данной работе получено решение осесимметричной задачи об изгибе круглой пластины на упругом неоднородном основании при неполном контакте, позволяющее учитывать изменение по глубине коэффициента Пуассона материала основания. Результаты численных расчетов свидетельствуют о существенном влиянии неоднородности основания на условия отрыва пластины от основания и на расчетные характеристики их взаимодействия.

#### ЛИТЕРАТУРА

- Горбунов-Посадов М. И., Маликова Т. А., Соломин В. И. Расчет конструкций на упругом основании.— М.: Стройиздат, 1984.
- Ишкова А. Г., Коренев Б. Г. Изгиб пластинок на упругом и упругопластическом основании // Тр. II Всесоюз. съезда по теорет. и прикл. механике.— М.: Наука, 1966.— Вып. 3.
- Коренев Б. Г. Некоторые задачи теории упругости и теплопроводности, решаемые в бесселевых функциях.— М.: Физматгиз, 1960.
- Попов Г. Я. Пластинки на линейно деформируемом основании: Обзор // Прикл. механика.— 1972.— Т. 8, № 3.
- Развитие теории контактных задач в СССР/Под ред. Л. А. Галина.— М.: Наука, 1976.
- Цейтлин А. И. Прикладные методы решения краевых задач строительной механики.— М.: Стройиздат, 1984.
- Колчин Г. Б., Фаверман Э. А. Теория упругости неоднородных тел: Библиогр. указ. отеч. и иностр. лит-ры.— Кишинев: Штиинца, 1972.
- Колчин Г. Б., Фаверман Э. А. Теория упругости неоднородных тел: Библиогр. указ. отеч. и иностр. лит-ры за 1970—1973 гг.— Кишинев: Штиинца, 1977.
- Колчин Г. Б., Фаверман Э. А. Теория упругости неоднородных тел: Библиогр. указ. отеч. и иностр. лит-ры за 1974—1979 гг.— Кишинев: Штиинца, 1987.
- Попов Г. Я. Контактные задачи для линейно деформируемого основания.— Киев; Одесса: Вища школа, 1982.
- Статические и динамические смешанные задачи теории упругости/Под. ред. И. И. Воровича.— Ростов н/Д: Изд-во Рост. ун-та, 1983.
- Тимошенко С. П., Войновский-Кригер С. Пластиинки и оболочки.— М.: Физматгиз, 1963.
- Дудинский В. И. Осесимметричная контактная задача для упругого полупространства с переменным коэффициентом Пуассона // Тр. X науч. конф. молодых ученых Ин-та мех. АН УССР, Киев, июнь 1984.— Ч. I.— Деп. в ВИНТИ 30.07.84, № 5535—84.
- Бородачев А. Н., Дудинский В. И. Контактная задача для упругого полупространства с переменным коэффициентом Пуассона // Изв. АН СССР. МТТ.— 1986.— № 1.

15. Гребенников В. Н. Расчет круглой плиты, загруженной равномерно распределенной нагрузкой и распределенными по контуру моментами, с учетом неполного контакта плиты с полупространством // Изв. вузов. Стр-во и архитектура.— 1972.— № 7.
16. Верлань А. Ф., Сизиков В. С. Интегральные уравнения: методы, алгоритмы, программы: Справочное пособие.— Киев: Наук. думка, 1986.

Поступила 19/XI 1987 г.

УДК 539.376

## О ДВУОСНОМ РАСТЯЖЕНИИ ТОЛСТОЙ ПЛАСТИНЫ С ЭЛЛИПТИЧЕСКИМ ОТВЕРСТИЕМ ИЗ СТАРЕЮЩЕГО УПРУГОПЛАСТИЧЕСКОГО МАТЕРИАЛА

*Ф. Б. Милявская*

(Чебоксары)

В [1] введена модель стареющего вязкопластического материала. При этом предел текучести — интегральный оператор. В настоящей работе на основе модели [1] рассматривается развитие пластической зоны при двуосном растяжении пластины с эллиптическим отверстием из стареющего материала. Модель материала в упругоползучей зоне принята согласно [2, 3].

Методом малого параметра [4] получены два приближения для распределения напряжений, определена граница пластической зоны. Приводится численное решение задачи. Аналогичная задача для идеально упругопластического тела рассмотрена в [4].

Соотношения теории наследственно стареющего пластического тела — уравнения равновесия, условия несжимаемости и изотропии, условие наследственной пластичности — для плоской деформации имеют вид [1, 4]

$$(0.1) \quad \frac{\partial \sigma_x(t)}{\partial x} + \frac{\partial \tau_{xy}(t)}{\partial y} = 0, \quad \frac{\partial \tau_{xy}(t)}{\partial x} + \frac{\partial \sigma_y(t)}{\partial y} = 0;$$

$$(0.2) \quad \varepsilon_x + \varepsilon_y = 0, \quad \frac{\varepsilon_x - \varepsilon_y}{\sigma_x(t) - \sigma_y(t)} = \frac{\varepsilon_{xy}}{\tau_{xy}(t)};$$

$$(0.3) \quad \frac{1}{4} \left( \frac{\sigma_x(t) - \sigma_y(t)}{k(t)} + \int_{t_0}^t (\sigma_x(\tau) - \sigma_y(\tau)) K^*(\tau, t) d\tau \right)^2 + \\ + \left( \frac{\tau_{xy}(t)}{k(t)} + \int_{t_0}^t \tau_{xy}(\tau) K^*(\tau, t) d\tau \right)^2 = 1.$$

Здесь  $\sigma_x(t)$ ,  $\sigma_y(t)$ ,  $\tau_{xy}(t)$  — компоненты напряжений, зависящие от времени;  $\varepsilon_x$ ,  $\varepsilon_y$ ,  $\varepsilon_{xy}$  — компоненты скорости пластической деформации;  $k(t)$  — переменный во времени предел текучести;  $K^*(\tau, t)$  — ядро наследственного оператора.

1. Рассмотрим бесконечную плоскость с эллиптическим отверстием с полуосьями  $a(1+c)$ ,  $a(1-c)$ , растягиваемую на бесконечности взаимно перпендикулярными усилиями  $p_1(t)$  и  $p_2(t)$ ; на контуре отверстия действует нормальное давление  $p_0(t)$ . Положим

$$(1.1) \quad c = d_1 \delta, \quad (p_1(t) - p_2(t))/2 = d_2 \delta,$$

где  $\delta$ ,  $d_1$ ,  $d_2$  — постоянные, принимающие значения в пределах

$$(1.2) \quad 0 \leq \delta \leq 1, \quad 0 \leq d_i \leq 1 \quad (i = 1, 2).$$

Очевидно, при  $d_1 = 0$ ,  $d_2 = 1$  наблюдается двуосное растяжение толстой пластины с круговым отверстием [5], при  $d_1 = 1$ ,  $d_2 = 0$  имеет место пластина с эллиптическим отверстием под действием нормального давления.

Перейдем к безразмерным параметрам и переменным, оставив прежние обозначения. Предел текучести при  $t \rightarrow \infty$  обозначим  $k_\infty$  и все величи-